УДК 52.17 UDC 52.17

уровня воды прогноз B PEKE C ВОДОТОКА, КРУТЫМ ПАДЕНИЕМ **OCHOBAHHOE** HA ФИЛЬТРАЦИИ КАЛЬМАНА-БЬЮСИ

THE FORECAST OF THE WATER LEVEL IN THE RIVER WITH THE ABRUPT FALLING WATER-CURRENT BASED ON KALMAN-BUSY **FILTRATION**

Титов Николай Георгиевич

аспирант

Titov Nikolay Georgievich

graduate

Кубанский государственный университет,

Краснодар, Россия

Kuban state university, Krasnodar, Russia

Кузякина Марина Викторовна

к.ф.-м.н.

Kuzyakina Marina Viktorovna

Candidate of Physical and Mathematical Sciences

Кубанский государственный университет,

Краснодар, Россия

Kuban state university, Krasnodar, Russia

Лебедев Константин Андреевич

д.ф.-м.н., проф.

Lebedev Konstantin Andreevich

Doctor of Physical and Mathematical Sciences

Кубанский государственный университет,

Краснодар, Россия

Kuban state university, Krasnodar, Russia

Предложена методика краткосрочного прогнозирования уровня воды в русле реки горного типа, основанная на методе фильтрации Кальмана-Бьюси в предположении естественных упрощений,

характерных для натурных объектов.

The technique of short-term forecasting of the water level in a vein of the mountain type river, based on a method of filtration Kalman-Busy in the make assumption of natural simplifications, characterized for natural objects is offered

Ключевые МАТЕМАТИЧЕСКОЕ спова: МОДЕЛИРОВАНИЕ. ФИЛЬТР КАЛМАНА-БЬЮСИ, ПАВОДКОВАЯ СИТУАЦИЯ, METOД SITUATION, RUNGE-KUTTA METHODS РУНГЕ-КУТТА, ПРОГНОЗИОВАНИЕ

Keywords: : MATHEMATICAL MODELING. KALMAN-BUCY FILTER. FLOOD

Введение

Одной из уникальных черт Краснодарского края является наличие на его территории рек горного типа. Географически сложилось, что данные реки, на территории Краснодарского края, протекают в горных районах большого Сочи. Данный район имеет очень важное рекреационное значение, в то время как особенность рек горного типа к обильным и краткосрочным паводковым ситуациям не благоприятствует развитию горного туризма в указанном районе. Следовательно разработка методики прогнозирования уровня воды в реках горного типа продиктована современной социально-экономической обстановкой, a также

профилактикой чрезвычайных ситуаций на реках горного типа.

Практический интерес ДЛЯ решения задач прогнозирования представляют методы, использующие в математической модели материалы непосредственных наблюдений за потоком воды в русле, а также учитывающие стохастическую природу параметров модели. На практике часто возникают задачи определения состояния некоторой динамической системы по результатам непрерывных наблюдений. Поскольку наблюдения всегда сопровождаются ошибками, то такая задача сводится к оцениванию (фильтрации, экстраполяции т.д.) состояния И системы путем обработки наблюдений. статистической результатов Построить оптимальную оценку состояния динамической системы, основываясь на измерениях, содержащих погрешности, позволяет фильтр Калмана-Бьюси [1]. В данной работе предложена методика краткосрочного прогнозирования уровня воды в русле реки горного типа, основанная на фильтрации Кальмана-Бьюси в предположении естественных методе упрощений, характерных для натурных объектов. Данная методика апробирована на данных реки горного типа Мзымта за 2010 год предоставленных краснодарским центром гидрометеорологии И мониторинга окружающей среды.

1. Постановка задачи

Рассмотрим систему, описываемую скалярными уравнениями:

$$\dot{x} = Fx + Bu + G\varpi, \tag{1}$$

$$z = Hx + v, (2)$$

$$\dot{\hat{x}} = A\hat{x} + Kz, \tag{3}$$

где F, B, G, H — операторы (непрерывно-дифференцируемые функции); A и K — неизвестные операторы в фильтре Калмана-Бьюси; x — измеряемая величина; u— управляющее воздействие и пусть u = 0, которое воздействует на объект в текущий момент времени; z — величина на выходе измерительного прибора; \hat{x} — фильтрованная величина на выходе фильтра; \dot{x} , \dot{x} — производные по времени от x и \hat{x} соответственно; ω , v — случайные возмущения (белый шум) в текущий момент времени.

Уравнение (1) соответствует уравнению объекта с измеряемой величиной x. Уравнение (2) — уравнение, описывающее измерение величины x со случайной погрешностью v. Отметим, что для вывода формул потребуется сделать предположения о свойствах возмущений ω , v. Эти предположения сделаем ниже по мере возникновения необходимости. Уравнение (3) соответствует уравнению получаемого значения \hat{x} с помощью фильтра Калмана-Бьюси с коэффициентами A и K. Задача построения фильтра Кальмана-Бьюси сводится κ определению вида и зависимости коэффициентов A и K от операторов уравнений (1), (2).

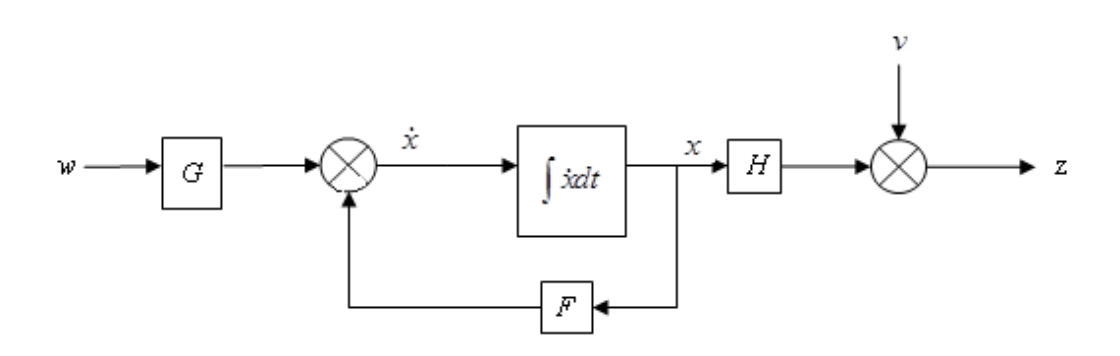


Рис.1. Структурная схема системы, состоящей из уравнений (1) и (2).

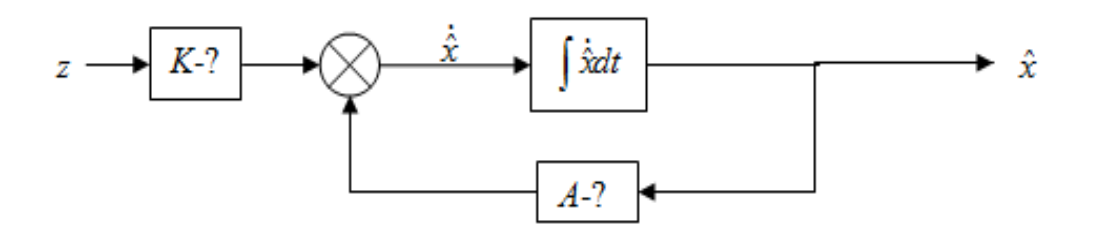


Рис. 2. Структурная схема уравнения (3).

Оптимальная проблема построения фильтра Кальмана-Бьюси состоит в построении таких операторов K и A, чтобы математическое ожидание погрешности $e = x - \hat{x}$ была минимальна

$$M\{[\hat{x}(t) - x(t)]^2\} = M\{e^2\} \to \min_{A,K}$$
. (4)

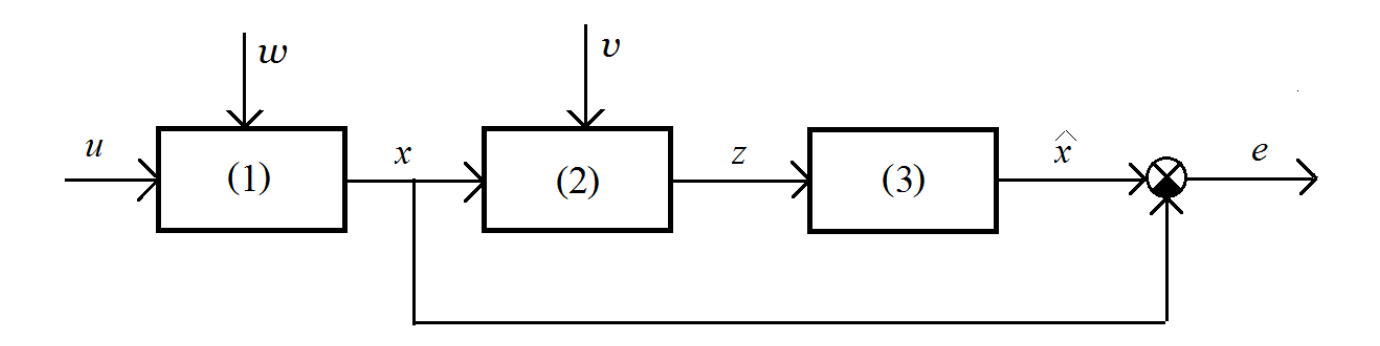


Рис. 3. Блочная схема для вычисления погрешности.

2. Вывод формул для фильтра Кальмана -Бьюси

Для построения оптимального фильтра в непрерывной постановке используем простой подход, суть которого состоит в дифференцировании по коэффициенту, который является оператором K.

Оператор A выразим через H и K (формула 9).

Для определения вида связи оператора A через H и K фильтра Кальмана–Бьюси проведём ряд преобразований. В уравнение (3), вместо z подставим выражение (2)

$$\dot{x} = A\hat{x} + K(Hx + V) = A\hat{x} + KHx + KV. \tag{5}$$

Перейдем к усредненным значениям $M[x]=\bar{x}$, пользуясь свойствами математического ожидания. Так как по условию постановки задачи v, ω являются белым шумом, то $M[v]=\overline{v}=0$, $M[\omega]=\overline{\omega}=0$.

Введем следующие, как правило, допускаемые предположения:

$$M[\hat{x}] = M[x] = \bar{x}, \qquad (6)$$

$$\dot{\hat{x}} = A\bar{\hat{x}} + KH\bar{x} \ . \tag{7}$$

Из уравнения (1), учитывая u = 0, получаем

$$\dot{\overline{x}} = F\overline{x} \,. \tag{8}$$

Подставив (8) в (7) будем иметь

$$F\overline{x} = A\overline{x} + KH\overline{x}$$
,

откуда следует, что

$$A = F - KH. \tag{9}$$

Из (9) видно, что для построения решения фильтра достаточно найти оператор K.

Чтобы определить K, обратимся к уравнениям (3) и (1).

$$\dot{\hat{x}} = (F - KH)\hat{x} + Kz = F\hat{x} + K(z - H\hat{x})$$
(10)

$$\dot{x} = Fx + G\omega \tag{11}$$

Вычтя из уравнения (11) уравнение (10), получим

$$\dot{x} - \dot{\hat{x}} = \dot{e} = Fx + G\omega - A\hat{x} - Kz = Fx + G\omega - F\hat{x} - Kz + KH\hat{x} = Fx - F\hat{x} + G\omega - K(z - H\hat{x}) =$$

$$= F(x - \hat{x}) + G\omega - K(Hx + v - H\hat{x}) = Fe - KHe + G\omega - Kv = (F - KH)e + G\omega - Kv. \quad (12)$$

Обозначив в (12) $\dot{x} - \dot{\hat{x}}$ через e, получим обыкновенное дифференциальное уравнение относительно погрешности e

$$\dot{e} = (F - KH)e + G\omega - K\nu \tag{13}$$

ИЛИ

$$\dot{e} = Ae + G\omega - KV. \tag{14}$$

Пусть

$$U = G\omega - K\nu$$
,

тогда

$$\dot{e} = Ae + U \tag{15}$$

Решение дифференциального уравнения будем искать через функцию веса $\varphi(t,\tau)$, которая является решением однородного уравнения

$$\frac{d\varphi(t,t_0)}{dt} = A \cdot \varphi(t,t_0), \ \varphi(t_0,t_0) = 1.$$
 (16)

Тогда решение (15) можно записать следующим образом [1]

$$e(t) = \varphi(t, t_0)e(t_0) + \int_{t_0}^t \varphi(t, \tau)U(\tau)d\tau$$
(17)

Дисперсия l = D(e) ошибки e должна быть минимальной

$$l = \mathbf{D}(e) = \mathbf{M}[e^2] \to \min_{K}. \tag{18}$$

Выберем K так чтобы l(t) было минимальным. Для этого

$$\frac{dl}{dt} = M[\frac{de^2}{dt}] = M[2e\frac{de}{dt}] = M[2e(Ae + U)] = M[2Ae^2 + 2G\omega e - 2eKv] =$$

$$= 2Al + 2GM[\omega e] - 2KM[ev]. \tag{19}$$

Для нахождения математических ожиданий $M[\omega e]$ и M[ev] произведений умножим (17) на $\omega(t)$.

$$e \cdot \omega(t) = \varphi(t, t_0) e(t_0) \omega(t) + \int_{t_0}^t \varphi(t, \tau) G\omega(\tau) \omega(t) d\tau - \int_{t_0}^t \varphi(t, \tau) K v(\tau) \omega(t) d\tau$$
 (20)

Возмущения $\omega(t)$ и погрешность измерения v(t) есть случайные гауссовские процессы типа белого шума с нулевым среднем и корреляционными процессами

$$cov(\omega(\tau)\omega(t)) = M[\omega(\tau)\omega(t)] = q(\tau)\delta(\tau - t)$$

И

$$cov(v(\tau)v(t)) = M[v(\tau)v(t)] = r(t)\delta(\tau - t)$$

где $\delta(t)$ единичная функция Дирака; q(t) и r(t) –дисперсии шумов. Тогда

$$M[e\omega] = \varphi(t,t_0)M[e(t_0)\omega(t)] + \int_{t_0}^t \varphi(t,\tau)GM[\omega(\tau)\omega(t)]d\tau,$$

$$M[e(t_0)\cdot\omega(t)] = 0,$$

$$M[\omega(t)\cdot\nu(\tau)] = 0.$$
(21)

Между моментом t и t_0 корреляция между e, v нулевая, поэтому, используя свойства гауссовского белого шума и интегральные свойства симметричной единичной функции Дирака [1], получим

$$M[e\omega] = \int_{t_0}^{t} \varphi(t,\tau) GM[\omega(\tau)\omega(t)] d\tau = \frac{1}{2} G\varphi(t,t) q(t) = \frac{1}{2} Gq(t) \text{ T.K. } \varphi(t,t) = 1.$$
 (22)

Аналогично

$$M[ev] = -\int_{t_0}^{t} \varphi(t,\tau)K \cdot M[v(t) \cdot v(\tau)]d\tau = -\frac{1}{2}\varphi(t,t) \cdot K \cdot r(t) = -\frac{1}{2}K \cdot r(t). \tag{23}$$

Подставив (21), (22) в (19) будем иметь

$$\frac{dl}{dt} = 2A \cdot l + G \cdot q(t) + K^{2} r(t) = 2(F - KH)l + Gq + K^{2} r$$
 (24)

Чтобы l было минимальным, продифференцируем правую часть по K и прировняем полученное выражение к нулю:

$$-2Hl + 2Kr = 0, (25)$$

откуда

 $K = H \cdot \frac{l}{r}$ и учитывая (9) получим

$$A = F - \frac{l}{r}H^2 \tag{26}$$

Будем предполагать, что H=1, тогда $K=\frac{l}{r}$

Подставив (26) в (24) получим:

$$\frac{dl}{dt} = 2(F - H^2 \frac{l}{r})l + Gq + H^2 \frac{l^2}{r} = 2Fl - H^2 \frac{l^2}{r} + Gq$$

После проведенных преобразований фильтр Кальмана - Бьюси реализуется с помощью интегрирования системы из двух обыкновенных дифференциальных уравнений:

$$\frac{dl}{dt} = 2Fl - H^2 \frac{l^2}{r} + Gq , \qquad (27)$$

$$\frac{d\hat{x}}{dt} = 2(F - H^2 \frac{l}{r})\hat{x} + H \frac{l}{r} \cdot (Hx + v)$$
(28)

с естественными начальными условиями

$$l(0) = 0$$

$$\hat{x}(0) = x(0)$$
(29)

3. Пример применения фильтра Кальмана-Бьюси

Пример 1. Рассмотрим тестовый пример, для проверки возможностей фильтра, задавая конкретные данные для системы (1)-(3). Пусть операторы скалярные числа равные $F = \beta = 0.1$, G = H = 1; u = 0 – управляющее воздействие равно нулю. Проверку осуществим по упрощённой схеме. Объект $\frac{dx}{dt} = Fx$; x(0) = 1 даёт решение частное решение $x_0 = \exp(\beta t)$. Наложим на решение нормальную случайную составляющую $x = x_0 + \omega$, тогда $z = H(x_0 + \omega) + v$ — величина на выходе измерительного прибора, поступающая на фильтр (27), (28); q = 0.5 — дисперсия нормально-распределённой случайной величины $\omega(t)$; r = 0.1— дисперсия случайного возмущения v(t) на измерительном приборе. Начальные условия фильтра t(0) = 0, $\hat{x}(0) = 1$.

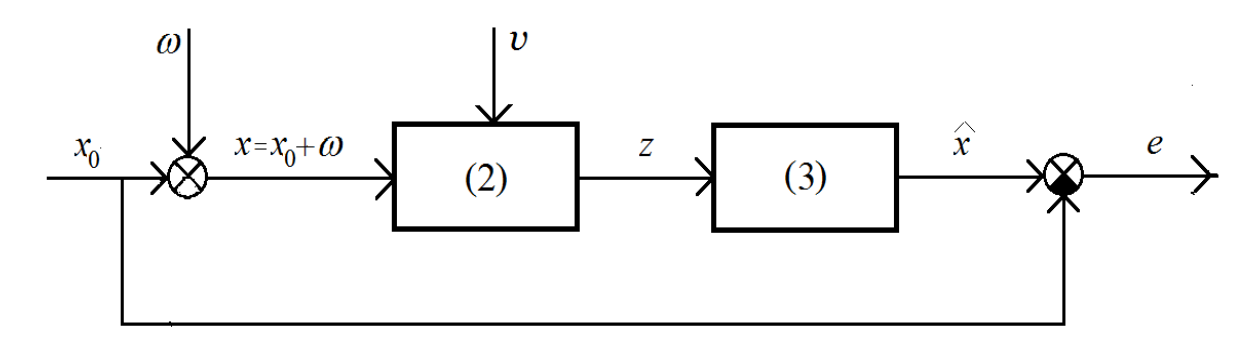


Рис. 4. Блочная схема тестовых примеров.

Результаты фильтрации по разработанной программе на математическом пакете MathCAD представлены на рис. 5

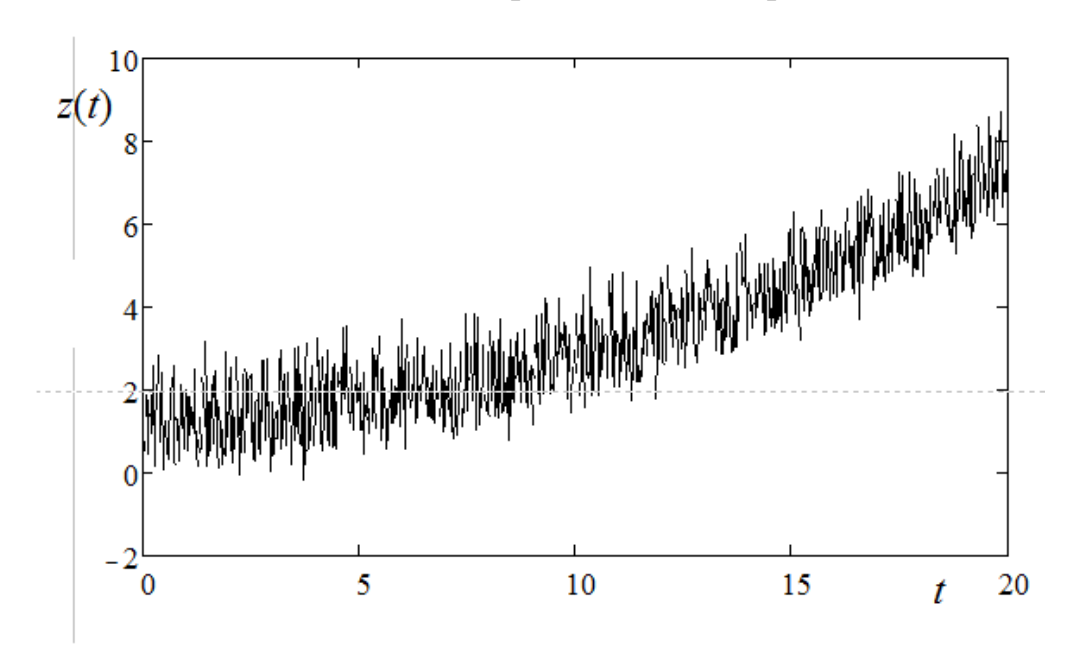


Рис.5. Величина z(t) поступающая на вход фильтра.

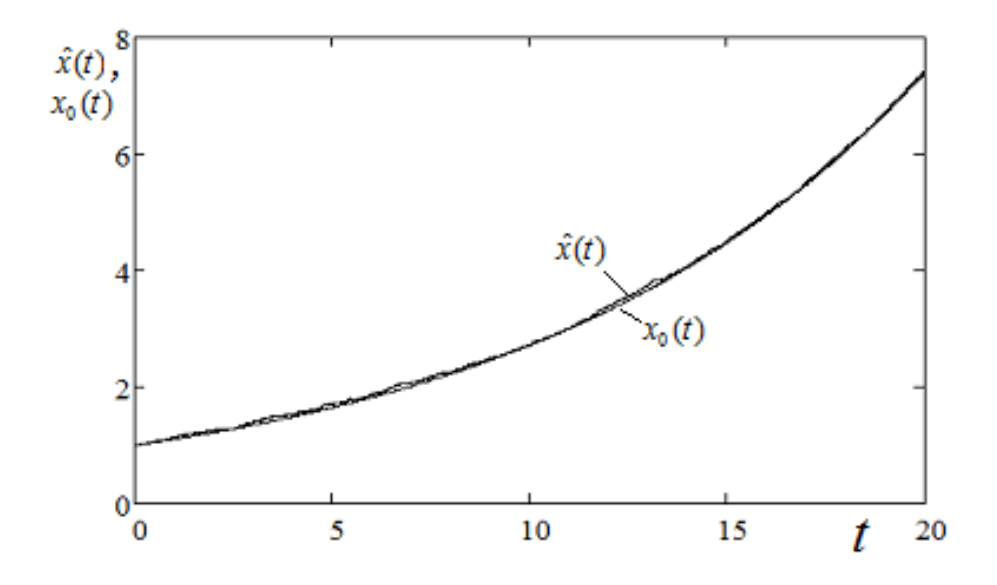


Рис.6. Величины: $x_0(t)$, $\hat{x}(t)$ - исходная величина и отфильтрованная величина соответственно

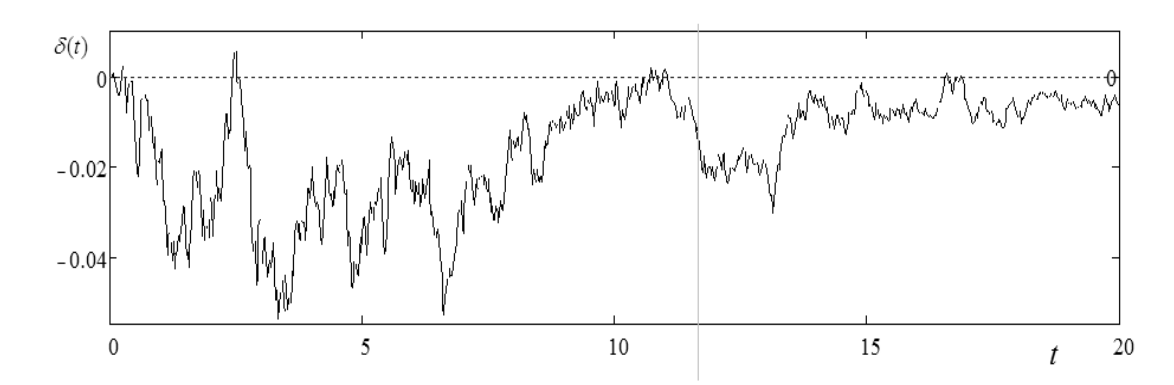


Рис.7. Относительная погрешность фильтрации $\,\delta(t) = (x_0(t) - \hat{x}(t)) / \,x_0(t)\,.$

Как видно из рис.7 Относительная погрешность фильтрации не превышает по модулю величины 0.05.

Пример 2. Рассмотрим тестовый пример с оператором F=0, остальные параметры те же, что и в примере 1. Случай F=0 описывает объект с постоянным уровнем выходного сигнала, $\frac{dx}{dt}=0$; x(0)=0 даёт решение частное решение $x_0=0$. Начальные условия фильтра l(0)=0, $\hat{x}(0)=0$.

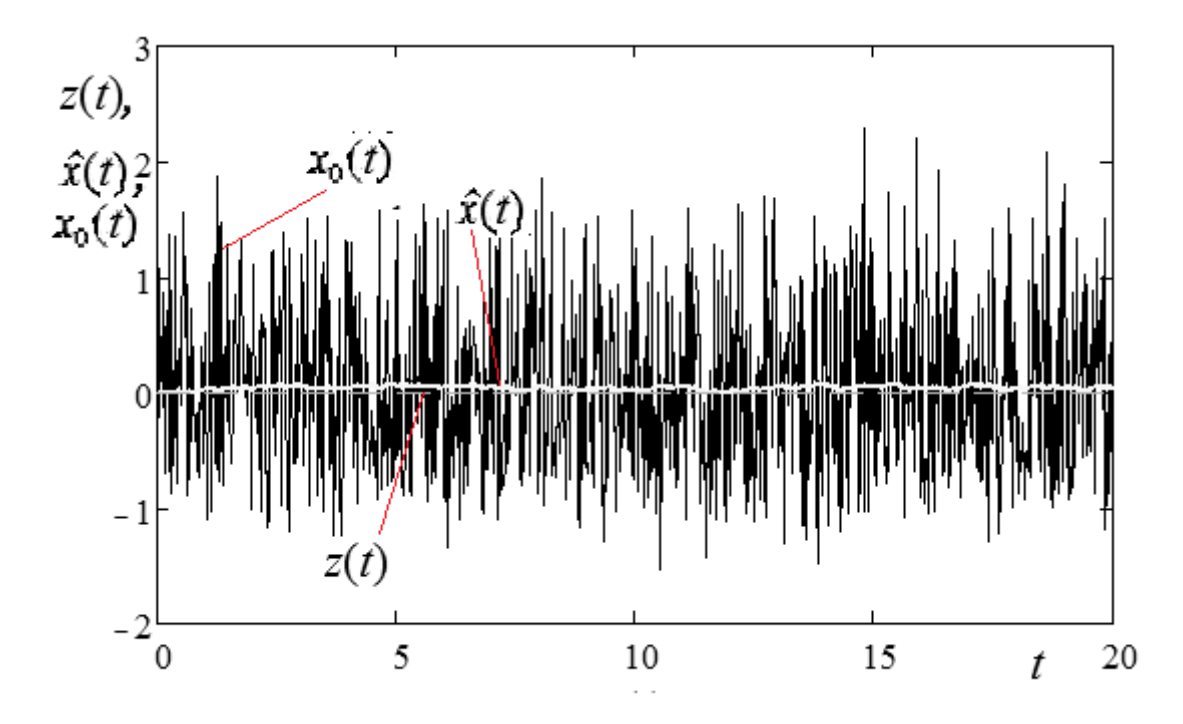


Рис.8. Величина z(t)=0 поступающая на вход фильтра (белый пунктир), $x_0(t)$, $\hat{x}(t)$ - исходная величина нормального возмущения (черные) и

отфильтрованная величина (белая линия) соответственно.

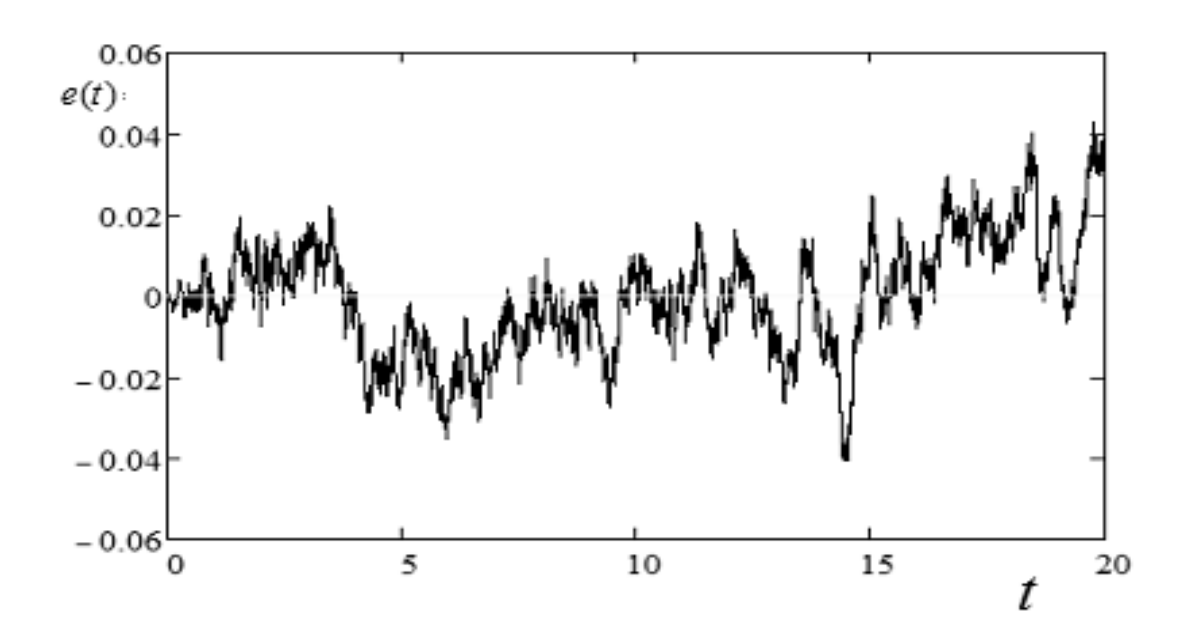


Рис.9. Абсолютная погрешность фильтрации $e(t) = x_0(t) - \hat{x}(t)$

Как видно из рис.9 абсолютная погрешность не превосходит по модулю 0.05 за рассмотренный промежуток времени.

Пример 3. Рассмотрим реальный объект, а именно уровень воды в реке горного типа. Все параметры те же что и в примере 2, за исключением того что z(t) есть реальное значение уровня воды в реке Мзымта за 2010 год взятое по данным Краснодарского центра гидрометеорологии и мониторинга окружающей среды.

Проведя численный эксперимент согласно (14), (15) и сравнив его с результатами регрессионного анализа проведенного на массиве тех же данных сделан вывод об улучшении краткосрочного прогноза уровня воды на основе следующих данных.

Проведенный двухвыборочный F-тест [2, 3] для дисперсий генеральных совокупностей экспериментальных данных и данных полученных с помощью регрессионного анализа показал вероятность сходства этих двух массивов равной $P_{\text{perp.}} = 0,897$, а для дисперсий

генеральных совокупностей экспериментальных данных и данных полученных с помощью фильтрации Калмана-Бьюси - $P_{\text{K-B.}} = 0,977$. Следовательно, вероятность совпадения массива данных полученного с помощью фильтрации Калмана-Бьюси с массивом экспериментальных данных больше, чем вероятность совпадения между реальными данными и данными полученными с помощью регрессионного анализа.

Метод, основанный на регрессионном анализе [4], показывает большую среднюю ошибку (10,217 > 5,193), по сравнению с методом, основанном на использовании фильтра Калмана-Бьюси. Визуализация погрешности прогноза с помощью фильтра Калмана-Бьюси e(t) и погрешности прогноза с помощью регрессионного анализа p(t), представленная на рис. 10, подтверждает проведенные расчеты.

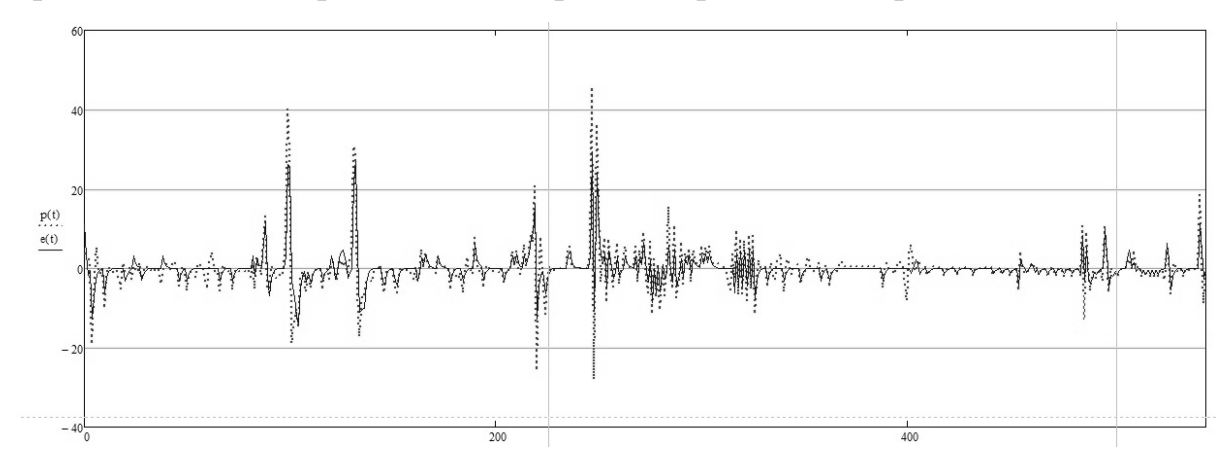


Рис. 10. Графики погрешностей p(t) и e(t).

Список литературы

- 1. Пугачев В.С. Стохастические дифференциальные системы. Анализ и фильтрация [Текст] / В. С. Пугачев, И. Н. Синицын. М.: Наука, 1990. 632 с.
- 2. Крамер Г. Математические методы статистики. М.: ир, 1975. –375 с.
- 3. Ивченко Г.И., Медведев Ю.И. Математическая статистика: учеб. пособие для втузов. М.: Высш. шк., 1984. 248с.
- 4. Титов Н.Г., Семенчин Е.А., Об оценке коэффициентов в уравнении линейной регрессии, описывающем изменения уровня воды в русле горной

реки //Известия Кубанского государственного университета. Естественные науки. —2013. — \mathbb{N} 2(2). — C.49-51.